

文章编号: 0253-9950(2006)03-0157-06

# A<sub>β</sub> 显像剂<sup>99</sup>Tc<sup>m</sup>-MAMA-DMABP 的合成及生物分布

王武尚<sup>1,2</sup>, 陈祥纪<sup>1</sup>, 刘伯里<sup>1</sup>

1. 北京师范大学 化学系, 北京 100875;

2. 西北核技术研究所, 陕西 西安 710024

**摘要:** 制备了新的 A<sub>β</sub> 斑块显像剂<sup>99</sup>Tc<sup>m</sup>-酰胺基氨基二硫醇(MAMA)-4'-氨基-4'-二甲氨基联苯(DMABP), 并研究了其在正常小鼠体内的生物分布。实验结果表明,<sup>99</sup>Tc<sup>m</sup>-MAMA-DMABP 具有较高的初始脑摄取, 较快的正常脑组织清除, 尾静脉注射后 2 min 的脑摄取达 0.88%/g, 2 min 与 60 min 的脑摄取率比值为 2.8。

**关 键 词:** 阿尔茨海默病; <sup>99</sup>Tc<sup>m</sup>; β-淀粉样蛋白; 斑块

中图分类号: O614.712 文献标识码: A

## Synthesis and Biodistribution of <sup>99</sup>Tc<sup>m</sup>-MAMA-DMABP as β-Amyloid Imaging Agent

WANG Wu-shang<sup>1,2</sup>, CHEN Xiang-ji<sup>1</sup>, LIU Bo-li<sup>1</sup>

1. Department of Chemistry, Beijing Normal University, Beijing 100875, China;  
2. Northwest Institute of Nuclear Technology, Xi'an 710024, China

**Abstract:** Alzheimer's disease (AD) is a neurodegenerative disease of the brain. Radioactive imaging agents for β-amyloid plaques in the brain will be useful in early noninvasive diagnosis and monitoring the progression of the disease. A new imaging agent for β-amyloid plaques, <sup>99</sup>Tc<sup>m</sup>-MAMA-DMABP was prepared, and its biodistribution in normal mice was studied. The results indicate that <sup>99</sup>Tc<sup>m</sup>-MAMA-DMABP has fairly high initial brain uptake and fast brain clearance in normal mice. Brain uptake is 0.88%/g at 2 min post i. v. injection. Brain uptake ratio (2 min/60 min) is 2.8.

**Key words:** Alzheimer's disease; <sup>99</sup>Tc<sup>m</sup>; β-amyloid; plaque

随着人口老龄化的发展, 阿尔茨海默病(Alzheimer's disease, AD)严重危害着老年人的身心健康, 给家庭、社会带来巨大的经济和人力负担, 因此, 关于 AD 的研究日益受到各国政府和国内外学者的高度重视。

在 AD 诊断方面, 根据早期症状来诊断 AD 是非常困难而且不准确的<sup>[1]</sup>。AD 脑中 A<sub>β</sub> 斑块显像作为一种无创性诊断 AD, 疗效评估和预后判断具有广阔的应用前景。A<sub>β</sub> 显像剂必须用短寿命放射性核素标记。<sup>99</sup>Tc<sup>m</sup> ( $T_{1/2} = 6$  h, 140 keV)

和<sup>123</sup>I( $T_{1/2}=13$  h, 159 keV)常用于单光子发射计算机断层(single photon emission computed tomography, SPECT), 而<sup>11</sup>C( $T_{1/2}=20$  min, 511 keV)和<sup>18</sup>F( $T_{1/2}=110$  min, 511 keV)则用于正电子发射断层(positron emission tomography, PET)。文献[2]对AD脑A $\beta$ 显像剂的研究进展进行了详细综述。

在A $\beta$ 放射性显像剂研究方面,<sup>99</sup>Tc<sup>m</sup>药物也是关注的焦点和难点。<sup>99</sup>Tc<sup>m</sup>-TRODAT-1是多巴胺转运蛋白显像剂<sup>[3-4]</sup>, 是第一个以简单扩散机理穿过血脑屏障(BBB)到达中枢神经系统靶点的<sup>99</sup>Tc<sup>m</sup>显像剂, 也是目前唯一临床使用成功的<sup>99</sup>Tc<sup>m</sup>脑受体显像剂。基于成功的经验, 人们致力于开发<sup>99</sup>Tc<sup>m</sup>标记的A $\beta$ 斑块显像剂。1996年, Hogyu Han等<sup>[5]</sup>制备了两个锝配合物: $[^{99}\text{Tc}^m(\text{CN}t\text{Bu})_4(\text{BPCR})]^+$ 和 $[^{99}\text{Tc}^m(\text{CN}t\text{Bu})_4(\text{BPCG})]^+$ , 与A $\beta$ 1-40结合物的解离常数( $K_d$ )分别为( $0.63 \pm 0.06$ ) $\mu\text{mol/L}$ 和( $0.16 \pm 0.05$ ) $\mu\text{mol/L}$ 。但这两个配合物不是零价的, 很难穿透BBB, 不适合作脑放射性药物。1999年, Dezutter等<sup>[6-7]</sup>合成了<sup>99</sup>Tc<sup>m</sup>-MAMA-CG, 小鼠2 min的脑摄取仅为( $0.2 \pm 0.1$ )%。2002年, Vanderghenste等<sup>[8]</sup>以二氨基二硫醇( $\text{N}_2\text{S}_2$ , BAT)作为双功能连接剂, 制备了2个<sup>99</sup>Tc<sup>m</sup>标记物<sup>99</sup>Tc<sup>m</sup>-5-BAT-BTA,<sup>99</sup>Tc<sup>m</sup>-2'-BAT-BTA, 小鼠2 min的脑摄取分别为0.62%/g, 0.25%/g, 60 min的脑摄取分别为0.27%/g, 0.04%/g。2005年, Zhuang等<sup>[9]</sup>成功制备了<sup>[99]\text{Tc}^m]</sup>19( $PC=170$ )和<sup>[99]\text{Tc}^m]</sup>23A( $PC=380$ )。<sup>[99]\text{Tc}^m]</sup>19正常小鼠2 min的脑摄取仅为( $0.29 \pm 0.04$ )%, 2 h的脑摄取为( $0.13 \pm 0.01$ )%, <sup>[99]\text{Tc}^m]</sup>23A正常小鼠2 min的脑摄取为( $1.18 \pm 0.20$ )%, 2 h的脑摄取为( $0.30 \pm 0.02$ )%。

从目前的研究结果来看, 脑摄取低是影响<sup>99</sup>Tc<sup>m</sup>脑受体显像剂发展的一大障碍。而二氨基二硫醇( $\text{N}_2\text{S}_2$ )和酰胺基氨基二硫醇(MAMA)配体能与 $[\text{TcO}]^{3+}$ 形成中性、脂溶性的配合物, 有利于穿透BBB。本文以具有较好亲A $\beta$ 斑块性能的4-氨基-4'-二甲氨基联苯为先导化合物, 以MAMA为螯合基团, 通过3个碳链的烷基连接, 拟合成新的小分子配体MAMA-DMABP, 并在<sup>99</sup>Tc<sup>m</sup>标记后进行标记物在小鼠体内的生物分布研究。

## 1 实验部分

### 1.1 试剂和仪器

半胱氨酸盐酸盐, 三苯基甲醇, 1,3-二溴丙烷, N,N-二异丙基乙胺, 三乙基硅烷, 纯度大于98%, 美国 Acros Organics 公司; 4-硝基-4'-二甲氨基联苯, 纯度大于98%, 日本 TCI 公司; 三氟乙酸, C P, 中国医药(集团)上海化学试剂公司; 柱层析硅胶, 青岛海洋化工集团公司; 聚酰胺薄膜, 浙江黄岩生化材料厂;  $\text{Na}^{99}\text{Tc}^m\text{O}_4$ , 中国原子能科学研究院; ICR 雌性小鼠, 18~20 g, 4周龄, 北京维通利华实验动物技术有限公司, 动物许可证证书SCXK京2002-001; 其它试剂均为国产分析纯。

Nicolet-170SX傅立叶红外仪, 美国 Nicolet 公司; Avance 500MHz 核磁共振仪, 美国 Bruker 公司; TrisGC2000型质谱仪, 美国 Finnigan 公司; Perkin-Elmer 240-C型元素分析仪, 美国 PE 公司; FH-408 自动定标器, FT-603 阵型闪烁探头, 北京核仪器厂; XT4 显微熔点测定仪, 北京泰克仪器有限公司, 温度未校正。

### 1.2 配体合成

根据文献[10]的方法改进合成了化合物MAMA-DMABP, 合成路线示于图1。

**1.2.1 化合物2的合成** 在250 mL反应瓶中加入半胱氨酸盐酸盐11.36 g(0.1 mol)、三氟乙酸116 mL(1.5 mol), 磁子搅拌, 待完全溶解后, 室温下分批加入三苯甲醇26 g(0.1 mol), 继续搅拌反应1 h, 旋蒸尽量除去反应混合物中三氟乙酸, 得到深橙色油状物。用100 mL乙酸乙酯稀释, 用50 mL 3 mol/L NaOH水溶液洗涤3次, 50 mL水洗涤2次, 再依次用50 mL饱和NaHCO<sub>3</sub>水溶液、50 mL盐水洗涤。水相用50 mL乙酸乙酯萃取, 合并有机相并用无水MgSO<sub>4</sub>干燥。将过滤后的滤液放入冰箱中, 有无色晶体析出, 产物即为化合物2, 熔点90~92 °C, 产率66%。

**1.2.2 化合物3的合成** 在50 mL反应瓶中加入溴乙酰溴1.1 mL(12.25 mmol)、无水CH<sub>2</sub>Cl<sub>2</sub>6 mL, 溶液在-20 °C下搅拌, 并向该溶液中滴加化合物2(4.0 g, 12.5 mmol)和15 mL三乙胺(1.75 mL, 12.5 mmol)的无水CH<sub>2</sub>Cl<sub>2</sub>的溶液, 在15 min内滴加完毕。反应混合物升至室温继续搅拌15 min, 加入50 mL水, 使该反应停止。有机相依次用50 mL 1 mol/L的HCl、50 mL水、

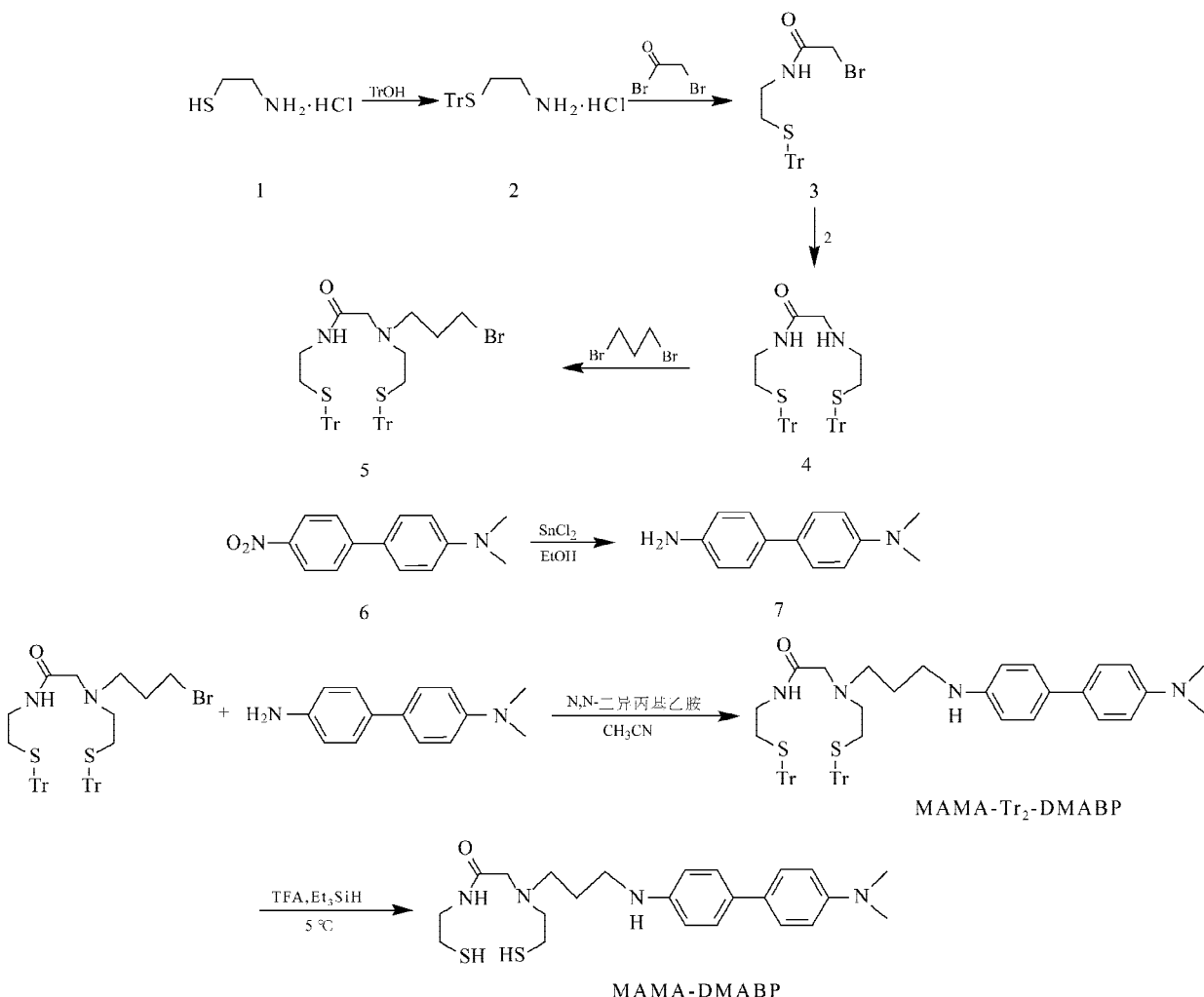


图1 MAMA-DMABP的合成

Fig. 1 Synthesis of MAMA-DMABP

50 mL 饱和 NaHCO<sub>3</sub> 水溶液、50 mL 饱和盐水洗涤,再用无水 MgSO<sub>4</sub> 干燥,过滤,浓缩至大约 25 mL,加入正己烷后有白色晶体析出,即为化合物 3,熔点 144~145 ℃,产率 87%。

**1.2.3 化合物 4 的合成** 将 4.27 g 化合物 3 (9.70 mmol) 和 2 mL 干燥的三乙胺 (14.3 mmol) 溶解于 30 mL 无水 CH<sub>2</sub>Cl<sub>2</sub> 溶液中配置成混合溶液。将其加入 15 mL 化合物 2 (3.1 g, 9.7 mmol) 的无水 CH<sub>2</sub>Cl<sub>2</sub> 溶液中,室温下搅拌反应 48 h,向反应物中加入 50 mL 水使反应停止。有机相用 50 mL 饱和 NaHCO<sub>3</sub> 水溶液洗涤 2 次,再用 50 mL 水和 50 mL 盐水洗涤,无水 MgSO<sub>4</sub> 干燥。过滤除去干燥剂,滤液浓缩后,经硅胶柱层析(乙酸乙酯)分离、浓缩,得白色泡沫状化合物 4,产率 60%。

**1.2.4 化合物 5 的合成** 在 50 mL 反应瓶中加入 1,3-二溴丙烷 0.61 g (3.0 mmol), 10 mL 乙

腈,搅拌下滴加 0.68 g 化合物 4 (1 mmol)、N,N'-二异丙基乙胺 0.39 g (DIEA, 3.0 mmol) 的 5 mL 乙腈溶液,加热回流 48 h。旋蒸除去溶剂,经硅胶柱层析(V(正己烷):V(乙酸乙酯)=60:40)分离,浓缩得淡黄色油状物 5,产率 30%。

**1.2.5 化合物 7 的合成** 在 250 mL 反应瓶中加入 4-硝基-4'-二甲氨基联苯(化合物 6) 2.4 g (10.0 mmol)、SnCl<sub>2</sub> · 2H<sub>2</sub>O 10.3 g (45.6 mmol) 和 100 mL 无水乙醇,加热回流 1.5 h。停止反应,旋蒸除去乙醇,残余物溶于 200 mL 乙酸乙酯中,分别用 100 mL 的 2 mol/L NaOH 和水各洗涤 3 次,无水 MgSO<sub>4</sub> 干燥。过滤除去干燥剂,经硅胶柱层析(V(正己烷):V(乙酸乙酯)=50:50)分离,浓缩得淡黄色固体产物 7,熔点 130~132 ℃,产率 56%。

**1.2.6 MAMA-Tr<sub>2</sub>-DMABP 的合成** 在 250

mL 反应瓶中加入 2.4 g(3.0 mmol) 化合物 5, 0.7 g(3.0 mmol) 化合物 7, 0.4 g(3.0 mmol) N,N-二异丙基乙胺和 150 mL 乙氟, 加热回流 48 h, 旋蒸除去乙氟, 残余物用 150 mL 二氯甲烷溶解, 依次用 100 mL 饱和 NaHCO<sub>3</sub> 水溶液、水和盐水各洗涤 2 次、1 次和 2 次, 用无水 MgSO<sub>4</sub> 干燥。过滤除去干燥剂, 滤液浓缩后, 经硅胶柱层析 (V(正己烷): V(乙酸乙酯)=70:30) 分离, 浓缩得棕色油状产物, 产率 36%。

MAMA-Tr<sub>2</sub>-DMABP 的谱学特征:<sup>1</sup>H NMR (500 MHz, 丙酮-d<sub>6</sub>, δ): 7.6(s, 1H, —CO—NH), 6.581 79~7.435 27(m, 38H, Ar)。MS(MALDI-TOF, CCA) *m/z*: 以 C<sub>61</sub>H<sub>62</sub>N<sub>4</sub>OS<sub>2</sub> 计, 930.44 (M<sup>+</sup>), 在质谱图中可以找到 930.7 (M<sup>+</sup>)。元素分析(以 C<sub>61</sub>H<sub>62</sub>N<sub>4</sub>OS<sub>2</sub> 计, w/%): 计算值 C, 78.67; H, 6.71; N, 6.02; 实验值 C, 75.84; H, 6.56; N, 5.30。

**1.2.7 MAMA-DMABP 的合成** 将产物 MAMA-Tr<sub>2</sub>-DMABP(10 mg) 在冰水浴中冷却到 5 ℃, 搅拌的同时滴加 1.0 mL 无水 CF<sub>3</sub>COOH, 5 min 滴完, 恒温继续搅拌 5 min, 得亮黄色溶液。向反应物中滴加 Et<sub>3</sub>SiH 至黄色消失, 再搅拌 5 min, 室温下旋去溶剂, 再用油泵抽干, 得终产物 MAMA-DMABP。用 90% 的乙醇水溶液配成 1.0 mg/mL 的配体溶液, 注入真空瓶中, 冰箱冷冻保存, 备用。

### 1.3 <sup>99</sup>Tc<sup>m</sup>-MAMA-DMABP 的制备

称取葡萄糖酸盐(GH) 25 mg, 用 0.5 mL 生理盐水使其完全溶解, 加入 0.1 mL SnCl<sub>2</sub>·2H<sub>2</sub>O 溶液(1 mg/mL, 0.1 mol/L HCl), 调 pH 为 7~7.5。加入新淋洗的 Na<sup>99</sup>Tc<sup>m</sup>O<sub>4</sub> 洗脱液 0.5 mL(约 3.7×10<sup>8</sup> Bq), 40 ℃ 水浴反应 10 min, 冷却至室温, 备用。

取配体 MAMA-DMABP 溶液 0.1 mL(1.0 mg/mL), 加入 0.2 mL 磷酸盐(PBS)缓冲溶液(0.5 mol/L, pH=8.00), 再加入 0.2 mL 乙醇, 充分混合使其溶解澄清, 加入标记好的<sup>99</sup>Tc<sup>m</sup>-GH(0.2 mL, 约 7.4×10<sup>7</sup> Bq), 充分振荡后, 密封放入沸水浴中煮沸 30 min, 冷却后即完成标记。加入 0.1 mL 10% (V/V) 吐温-80 的乙醇溶液, 用含 20% 乙醇的生理盐水稀释至 7.4×10<sup>6</sup> Bq /mL, 用于小鼠体内生物分布研究。

### 1.4 <sup>99</sup>Tc<sup>m</sup>-MAMA-DMABP 小鼠体内分布实验

取体重 18~20 g ICR 小鼠 12 只分为 4 组,

尾静脉注射 0.1 mL(约 7.4×10<sup>5</sup> Bq)<sup>99</sup>Tc<sup>m</sup>-MA-MA-DMABP 溶液, 分别在注射后 2, 15, 30, 60 min 时断颈处死, 解剖后取血液和感兴趣脏器, 称重, 测量放射性计数。分别计算各组织的摄取率(%, 各组织的放射性活度与总注射活度的百分比)及每克组织的摄取率(%/g, 每克组织的放射性活度与总注射活度的百分比)。

## 2 结果和讨论

### 2.1 配体的合成

配体含有两个巯基, 在合成过程中对其进行基团保护。标记前, 需对被保护的巯基进行脱保护。在强酸性介质中, 保护基三苯甲基可形成稳定的碳正离子, 可与硫原子分离, 由于体系中加入的三乙基硅烷提供了足够的氢离子, 使三苯甲基快速转换为三苯甲烷, 从而达到脱保护的目的。配体脱保护后为了防止巯基氧化, 必须放入冰箱保存或直接进行标记。

### 2.2 <sup>99</sup>Tc<sup>m</sup>-MAMA-DMABP 标记率的测定

<sup>99</sup>Tc<sup>m</sup>-GH 鉴定采用聚酰胺薄膜作支持体, 分别用生理盐水和丙酮作展开剂, 上行展开。生理盐水体系中, <sup>99</sup>Tc<sup>m</sup>O<sub>4</sub><sup>-</sup>, <sup>99</sup>Tc<sup>m</sup>O<sub>2</sub>·2H<sub>2</sub>O, <sup>99</sup>Tc<sup>m</sup>-GH 的 Rf 值分别为 0.1, 0.1, 0.9~1.0; 丙酮体系中, <sup>99</sup>Tc<sup>m</sup>-GH 的 Rf 值为 0.0~0.1, <sup>99</sup>Tc<sup>m</sup>O<sub>4</sub><sup>-</sup> 的 Rf 值为 0.8~0.9。<sup>99</sup>Tc<sup>m</sup>-GH 的标记率为 99.8%。<sup>99</sup>Tc<sup>m</sup>-MAMA-DMABP 的鉴定采用聚酰胺薄膜作支持体, 分别用生理盐水和氯仿-甲醇(体积比=19:1)作展开剂。在生理盐水体系中, <sup>99</sup>Tc<sup>m</sup>-GH, <sup>99</sup>Tc<sup>m</sup>-MAMA-DMABP 的 Rf 值分别为 1.0, 0.1; 在氯仿-甲醇体系中, <sup>99</sup>Tc<sup>m</sup>-GH, <sup>99</sup>Tc<sup>m</sup>-MAMA-DMABP 的 Rf 值分别为 0.1, 1.0。<sup>99</sup>Tc<sup>m</sup>-MAMA-DMABP 的标记率为 95.0%。

利用薄层层析法测定<sup>99</sup>Tc<sup>m</sup>-MAMA-DMABP 放射化学纯度。结果显示, 在生理盐水/聚酰胺薄膜体系中, <sup>99</sup>Tc<sup>m</sup>-GH 的放射化学纯度大于 99.8% (Rf=0.9~1.0), 而加入配体 MAMA-DMABP 在沸水浴中与<sup>99</sup>Tc<sup>m</sup>-GH 进行交换后, 在同样的薄层层析体系中, 放射性标记配合物<sup>99</sup>Tc<sup>m</sup>-MAMA-DMABP 的放化纯度大于 95.0%。说明配体与<sup>99</sup>Tc<sup>m</sup>-GH 已进行了很好的交换。

### 2.3 <sup>99</sup>Tc<sup>m</sup>-MAMA-DMABP 的生物分布

<sup>99</sup>Tc<sup>m</sup>-MAMA-DMABP 在正常小鼠体内的生物分布结果列入表 1。

由表 1 数据可以看出, <sup>99</sup>Tc<sup>m</sup>-MAMA-

DMABP 在正常小鼠中脑摄取较高, 静脉注射后 2 min 的脑摄取为 0.39%。如果将分子结构中酰胺的羰基还原为亚甲基, 脑摄取可能会有所提高<sup>[11]</sup>。Zhuang 等<sup>[9]</sup> 将<sup>[99m]</sup>Tc-19 分子的羰基还原为亚甲基得到<sup>[99m]</sup>Tc-23A, 正常小鼠 2 min 的脑摄取由 0.29% 提高到 1.18%。<sup>[99m]</sup>Tc-19, <sup>[99m]</sup>Tc-23A 和<sup>99m</sup>Tc-MAMA-DMABP 的分子结构图示于图 2。由图 2 可看出,<sup>[99m]</sup>Tc-19, <sup>[99m]</sup>Tc-23A 和<sup>99m</sup>Tc-MAMA-DMABP 是 3 个类似的<sup>99m</sup>Tc 标记物。三者不同时相的脑摄取数据

示于图 3。<sup>[99m]</sup>Tc-19 和<sup>99m</sup>Tc-MAMA-DMABP 分子结构中均含有酰胺基团,<sup>99m</sup>Tc-MAMA-DMABP 的初始脑摄取和正常脑组织清除较优于<sup>[99m]</sup>Tc-19,<sup>[99m]</sup>Tc-23A 是不含羰基的配合物, 初始脑摄取和正常脑组织清除均有很大改善。<sup>[99m]</sup>Tc-23A 能明显标记显示转基因 PSAPP 老鼠脑组织中的 A<sub>β</sub> 斑块<sup>[3]</sup>。<sup>99m</sup>Tc-MAMA-DMABP 和<sup>[99m]</sup>Tc-23A 均是二甲氨基联苯的衍生物, 估计<sup>99m</sup>Tc-MAMA-DMABP 对 A<sub>β</sub> 斑块也有较好的亲和性, 但具体亲和性数据有待进一步测定。

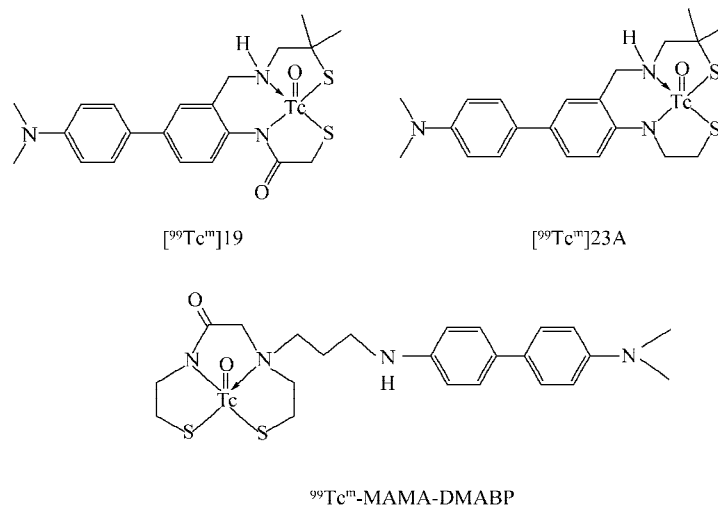
表 1 <sup>99m</sup>Tc-MAMA-DMABP 在小鼠体内的生物分布Table 1 Biodistribution of <sup>99m</sup>Tc-MAMA-DMABP in normal mice

脏器(Organ)	摄取率(Uptake ratio)/(% · g <sup>-1</sup> )			
	2 min	15 min	30 min	60 min
脑(Brain)	0.88±0.32	0.80±0.46	0.79±0.12	0.31±0.04
血(Blood)	4.68±1.08	2.15±0.75	1.82±0.17	0.91±0.12
心(Heart)	9.95±3.05	3.59±1.36	3.12±0.68	1.36±0.32
肝(Liver)	10.84±2.85	14.16±4.70	14.18±0.44	11.73±1.13
肺(Lung)	52.47±19.48	68.05±16.85	60.64±4.39	64.13±3.22
肾(Kidney)	8.72±1.90	6.46±2.67	5.79±0.85	2.93±0.42
脾(Spleen)	4.51±2.32	8.96±4.90	14.31±3.60	7.50±0.88

脏器(Organ)	摄取率(Uptake ratio)/%			
	2 min	15 min	30 min	60 min
脑(Brain)	0.39±0.15	0.33±0.18	0.33±0.04	0.11±0.01
心(Heart)	0.79±0.25	0.30±0.13	0.25±0.06	0.11±0.02
肝(Liver)	9.55±2.04	10.69±1.38	12.65±0.60	9.62±0.76
肺(Lung)	10.25±0.17	11.04±1.47	13.19±0.79	8.98±1.10
肾(Kidney)	2.19±0.55	1.47±0.40	1.37±0.25	0.68±0.11
脾(Spleen)	0.42±0.26	0.71±0.35	1.43±0.38	0.61±0.04

注(Note): n=3

图 2 <sup>[99m]</sup>Tc-19, <sup>[99m]</sup>Tc-23A 和<sup>99m</sup>Tc-MAMA-DMABP 的分子结构Fig. 2 Molecular structure of <sup>[99m]</sup>Tc-19, <sup>[99m]</sup>Tc-23A and <sup>99m</sup>Tc-MAMA-DMABP

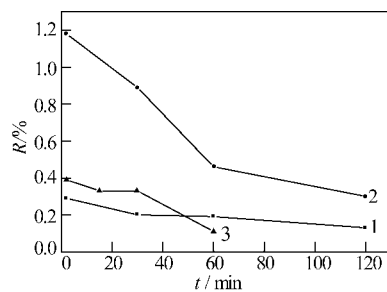


图 3  $[^{99}\text{Tc}^m]19$ ,  $[^{99}\text{Tc}^m]23\text{A}$  和  $[^{99}\text{Tc}^m]\text{-MAMA-DMABP}$  的脑摄取比较

Fig. 3 Brain uptake ratio comparison of  $[^{99}\text{Tc}^m]19$ ,  $[^{99}\text{Tc}^m]23\text{A}$  and  $[^{99}\text{Tc}^m]\text{-MAMA-DMABP}$   
 1—— $[^{99}\text{Tc}^m]19$ , 2—— $[^{99}\text{Tc}^m]23\text{A}$ ,  
 3—— $[^{99}\text{Tc}^m]\text{-MAMA-DMABP}$

### 3 结 论

$[^{99}\text{Tc}^m]\text{-MAMA-DMABP}$  在正常小鼠体内具有较高的初始脑摄取, 较快的正常脑组织清除, 静脉注射后 2 min 的脑摄取达 0.88%/g, 2 min 与 60 min 的脑摄取比值为 2.8, 值得进一步深入研究。

### 参 考 文 献:

- [1] Boss M A. Diagnostic Approaches to Alzheimer's Disease[J]. Biochem Biophys Acta, 2000, 1502 (1):188-200.
- [2] 王武尚, 张锦明, 刘伯里. AD 脑  $\text{A}\beta$  放射性显像剂研究进展[J]. 同位素, 2004, 17(17): 232-239.
- [3] Kung H F, Kim H J, Kung M P, et al. Imaging of Dopamine Transporters in Humans With Technetium-99mTRODAT-1[J]. Eur J Nucl Med, 1996, 23: 1 527-1 530.
- [4] Mozley P D, Schneider J S, Acton P D, et al. Binding of  $[^{99m}\text{Tc}]$ TRODAT-1 to Dopamine Transporters in Patients With Parkinson's Disease and in Healthy Volunteers[J]. J Nucl Med, 2000, 41: 584-589.
- [5] Hogyu Han, Cheon-Gyu Cho, Lansbury P T Jr. Technetium Complexes for the Quantitation of Brain Amyloid[J]. J Am Chem Soc, 1996, 118: 4 506-4 507.
- [6] Dezutter N A, De Groot T J, Busson R, et al. Preparation of  $[^{99m}\text{Tc-N}_2\text{S}_2]$  Conjugates of Chrysamine G, Potential Probes for the Beta-Amyloid Protein of Alzheimer's Disease[J]. J Labelled Cpd Radiopharm, 1999, 42:309-324.
- [7] Dezutter N A, Dom R J, De Groot T J, et al.  $[^{99m}\text{Tc-MAMA-Chrysamine G}$ , a Probe for Beta-Amyloid Protein of Alzheimer's Disease[J]. Eur J Nucl Med, 1999, 26(5):1 392-1 399.
- [8] Vanderghinste D, Van Eeckhoudt M, Cleynhens J, et al. Synthesis and Preliminary Evaluation of  $[^{99m}\text{Tc-BAT-Thioflavine T Derivatives for } in vivo \text{ Visualization of Amyloid-}\beta$ [C]// Nicolini M. Technetium, Rhenium and Other Metals in Chemistry and Nuclear Medicine. Italy: U Mazzi Eds, 2002: 463-465.
- [9] Zhuang Zhi-ping, Kung Mei-ping, Hou Catherine, et al. Biphenyls Labeled With Technetium-99m for Imaging  $\beta$ -Amyloid Plaques in the Brain[J]. Nucl Med Biol, 2005, 32: 171-184.
- [10] 吴战宏, 李至敏, 王学斌.  $[^{99m}\text{Tc-MAMA-HA}$  与  $[^{99m}\text{TcN-MAMA-HA}$  的制备及生物性能的比较[J]. 北京师范大学学报(自然科学版), 2002, 38(6): 776-781.
- [11] Oya S, Plössl K, Kung M P, et al. Small and Neutral  $\text{TcO(V)}$  BAT, Bisaminoethanethiol ( $\text{N}_2\text{S}_2$ ) Complexes for Developing New Brain Imaging Agents[J]. Nucl Med Biol, 1998, 25: 135-140.